



مطالعه پدیده فرورزونانس در سیستم‌های قدرت الکتریکی (STUDY OF FERRORESONANCE IN ELECTRICAL POWER SYSTEMS)

رضا قاضی

دانشگاه فردوسی مشهد

چکیده :

در این مقاله ابتدا به معرفی پدیده فرورزونانس (FERRORESONANCE) و موارد وقوع آن در سیستم‌های انتقال و توزیع انرژی الکتریکی و همچنین در بعضی از اجزاء سیستم نظیر ترانسفورماتورهای ولتاژ (VT) پرداخته آنکه به کمک شبیه‌سازی کامپیوترا امکان وقوع این پدیده و اثرات نامطلوب آن در یک مورد خاص، که در آن یکی از خطوط تغذیه ترانسفورماتور ولتاژ در اثر پاره‌گی، اتصال زمین میکردد مورد بررسی قرار داده میشود. در این بررسی تاثیر پارامترهایی که زمینه را برای وقوع این پدیده مساعد مینمایند مشخص میکرددند که در نتیجه با اعمال محدودیت بر برخی از این پارامترها در مراحل طراحی ترانسفورماتور و همچنین با روش‌های دیگر میتوان از وقوع آن جلوگیری کرد. در این مطالعه از روش H.W.DOMMEL که برای بررسی مسائل کذای الکترومغناطیسی (EMTP) بسیار مناسب است، استفاده کردیده است و اندوکتانس غیرخطی بعورت نمایی مدل شده است.

شرح مقاله :

فرورزونانس اصطلاحی است که به نظر توصیف پدیده روزونانس در مداری که حداقل دارای یک عنصر غیرخطی اندوکتیو است، بکار برده میشود مداری که شامل

ترکیب سری یک اندوکتانس قابل اشباع و مقاومت خطی و خازن است ، مدار فرورزونانس نامیده میشود.

رزونانس که در مدار شامل راکتور خطی رخ میدهد به رزونانس خطی سری و رزونانس که در مدار شامل راکتور قابل اشباع رخ میدهد به فرورزونانس یا رزونانس جهشی (JUMP-RESONANCE) موسوم است . بواسطه مشخصه غیرخطی راکتور ، مقدار اندوکتانس در ناحیه اشباع تابعی از درجه اشباع هسته مغناطیسی که خود وابسته به ولتاژ دو سر راکتور است ، میباشد و از این رو در ناحیه اشباع اندوکتانس میتواند مقادیر متعددی را به خود اختصاص دهد که ممکن است در هر یک از این مقادیر تحت شرایط خامی پدیده فرورزونانس تحقق یابد . در حقیقت پدیده فرورزونانس مورد خامی از رزونانس جهشی است که در آن غیرخطی بودن، مربوط به هسته مغناطیسی راکتور است . رزونانس جهشی به این معناست که هرگاه در سیستمی که توسط منبع سینوسی تحریک میشود، در اثر افزایش مقدار یا فرکانس ورودی و یا مقدار یکی از پارامترهای سیستم ، یک جهش ناکهانی در مقدار یکی از سیگنالهای دیگر سیستم پیش آید. این جهش میتواند در ولتاژ یا جریان و یا فلوج مغناطیسی یا در تمامی آنها ایجاد گردد.

هنگامیکه در اثر اشباع هسته مغناطیسی و تحت شرایط خامی چنین پدیده ای رخ میدهد ولتاژ زیادی در دو سر راکتور ظاهر شده و جریان مغناطیسی کنده در نقاطی که ولتاژ تغییر جهت میدهد به شکل پالس به مقدار زیادی افزایش مییابد. (شکلهای ۱ و ۲)

۱- اثرات نامطلوب فرورزونانس :

پدیده فرورزونانس در سیستم های قدرت الکتریکی اهمیت زیادی پیدا کرده است زیرا بر اساس کزارشهاي متعدد در اثر وقوع این پدیده و اضافه ولتاژ و جریان پالسی ناشی از آن ، موجب یاری شدن و خرابی ترانسفورماتورهای اندازه‌گیری و ترانسفورماتورهای قدرت گردیده است . اضافه ولتاژ و جریان ناشی از فرورزونانس میتوانند بر حسب شرایط اولیه ، ولتاژ و فرکانس تحریک و مقادیر مختلف پارامترهای مدار (کاپاسیتانس و شکل منحنی مغناطیسی) ، مقادیر متفاوتی پیدا کنند ، بنابراین بایستی محدودیت هایی بر پارامترهای سیستم اعمال کرد تا از وقوع چنین پدیده ناخواسته جلوگیری نمود.

۱-۱- موارد وقوع فرورزونانس در سیستم‌های قدرت :

در سیستم‌های قدرت الکتریکی مواردی که در آنها احتمال وقوع فرورزونانس وجود دارد عبارتند از :

الف - ترانسفورماتورهای ولتاژ (VT و CVT)

ب - خطوط انتقال موازی EHV جابجا نشده

ج - سیستم توزیع انرژی

این پدیده معمولاً بواسطه اثر متقابل ترانسفورماتور (بدون بار یا بار کم) با کاپاسیتانس سیستم بوجود می‌آید. مثلاً اگر ولتاژی در نقطه صفر شکل موج آن به ترانسفورماتور بدون بار اعمال شود، یک جریان زیادی از مدار عبور می‌کند زیرا ، فلوی مغناطیسی تمایل دارد که در سیکل اول مقدارش را دو برابر نماید و در نتیجه هسته به میزان زیادی اشباع می‌گردد، این جریان زیاد تا چند سیکل ادامه می‌یابد و در شرایط ماندگار جریان تحریک به مقدار معمولش تنزل می‌باید. اما اگر چنانچه ترانسفورماتور از طریق یک خازن سوی انرژیدار گردد این جریان غیرعادی در شرایط ماندگار نیز ادامه می‌باید ، این جریان حتی از جریان تمام بار نیز بزرگتر است و شکل موج جریان و ولتاژ دو سر ترانسفورماتور مطابق (شکلهای ۱ و ۲) کاملاً اعوجاج یافته‌اند و پدیده فرورزونانس تحقق یافته است .

۱-۲- شروع فرورزونانس :

پدیده فرورزونانس همواره پس از وقوع یک اغتشاش فاحش ، دخ میدهد. اغتشاش وارده به سیستم ممکن است منجر به تغییر افزایشی در مقدار یا فرکانس ورودی سیستم یا مقادیر پارامترهای سیستم گردد. در سیستم‌های قدرت ، معمولاً اغتشاش ناشی از قطع خط ترانسفورماتور بدون بار و شرایط سوئیچینگ نامطلوب ، احتمال وقوع فرورزونانس را افزایش میدهد. اغلب این پدیده در سیستم قدرتی که دارای تلفات کم است آغاز می‌گردد.

۱-۳- شرایط ادامه یافتن فرورزونانس :

همانطوریکه گفته شد وقوع فرورزونانس در سیستم‌های قدرت به شرایط اولیه مخصوصاً به انرژی اولیه ذخیره شده سیستم در زمان پس از اغتشاش وابسته است

اگر این انرژی کافی باشد اندوکتانس با هسته آهنی را به اشباع می برد و اگر برای تغذیه تلفات سیستم بقدر کافی انرژی از منبع تغذیه انتقال یابد پدیده فرورزونانس ادامه می یابد، البته مکانیزم انتقال انرژی در موارد مختلف، متفاوت خواهد بود مثلاً در خطوط دوبل EHV وقتی یکی از مدارها قطع میشود و خط دیگر انرژی دار میگردد، انتقال توان از طریق کاپاسیتانس کوپلaz بین دو خط، از خط انرژی دار صورت میگیرد.

۲- سیستم مورد مطالعه :

سیستم مورد مطالعه، مطابق شکل (۲) ترانسفورماتور ولتاژی است (ترانسفورماتورهای تکلاز با اتمال ستاره) که در شرایط نرمال از خط سه فاز تغذیه میشود. در این سیستم در اثر اتمال زمین فاز پاره شده (مثلاً فاز B) مدار فرورزونانس سری RLC (غیرخطی) بوجود میآید. کاپاسیتانس بین دو فاز سیستم با C مشخص گردیده است، همانطوریکه در شکل (۳) نشان داده شده است جریان شارژ بین فازهای A و C و زمین تولید میگردد بنابراین مدار معادل (شکل ۴) بدست میآید که در صورت تکلاز بودن ترانسفورماتورها، دو میسر L-C بوجود میآید که بعنوان مدار فرورزونانس مورد مطالعه قرار میگیرد شکل (۵). این مدار مجدداً در شکل (۶) تکرار شده است و بواسطه روش DOMMEL که در آن عنصر فشرده موجود (خازن و راکتور) مطابق قانون انتگرالگیری TRAPEZOIDAL مدل شده اند، توسط معادلات کره بفرم ماتریس بعورت معادله (۱) فرموله شده است

$$\begin{bmatrix} V_{1P} \\ R \\ 0 \end{bmatrix} = \begin{bmatrix} -I_{CP^{-1}} \\ -I_{CP^{-1}} - I_{LP^{-1}} \end{bmatrix} + \begin{bmatrix} \frac{1}{R + \frac{2C}{\Delta t}} & -\frac{2C}{\Delta t} \\ \frac{2C}{\Delta t} & -(\frac{2C}{\Delta t} + \frac{2L}{2L}) \end{bmatrix} \begin{bmatrix} V_{2P} \\ V_{3P} \end{bmatrix} + \quad (1)$$

$$\begin{bmatrix} -\frac{2C}{\Delta t} & \frac{2C}{\Delta t} \\ \frac{-2C}{\Delta t} & (\frac{2C}{\Delta t} - \frac{\Delta t}{2L}) \end{bmatrix} \begin{bmatrix} V_{2P^{-1}} \\ V_{3P^{-1}} \end{bmatrix}$$

معادله (۱) بفرم فشرده شکل ذیرو در می‌آید:

$$\{I_{NP}\} = \{GA\} \{V^P\} + \{GB\} \{V^{P-1}\} - \{I^{P-1}\}$$

که در آن :

$$\{GA\}, \{GB\}$$

ماتریس کنداکتانس گره
ولتاژ گره در مرحله زمانی P ام

$$\{V^P\}$$

ولتاژ گره در مرحله زمانی (P-1) ام

$$\{V^{P-1}\}$$

بردارستونی جریان کاپاسیتو و اندوکتیو مرحله زمانی (P-I) ام

$$\{I^{P-1}\}$$

بردارستونی جریان تحریک

$$\{I_{NP}\}$$

چون مدار شامل عنصر غیر خطی است روش فوق همراه با روش تکراری نظریه نیوتون ، را فس معادله (۱) برای جریان عبوری از اندوکتانس غیر خطی و ولتاژ دو سر آن به کمک برنامه نوشته شده (EMTP 20) حل و نتایج ترسیم شده است .
نحوه اجرای آن در شکل (۲) مشخص گردیده است .

۳- نمایش مشخصه مغناطیسی ترانسفورماتور در برنامه فوق :

نمایش مشخصه مغناطیسی در بررسی فروروزونانس اهمیت زیادی دارد . نمایش آن بعورت قطعه قطعه خطی با دو یا سه شبیب توسط تعدادی از مؤلفین در این مطالعه بکار رفته است . مدل‌های دقیق‌تر نظریه مدل سری توانی (POWER SERIES) و مدل قوس تانژانت (ARC-TANGENT) در مطالعه فروروزونانس بکار رفته است . در این بررسی از مدل نمایی (EXPONENTIAL) که اجرای آن ساده و دارای دقت خوبی است ، استفاده شده است . البته با توجه به اینکه مقادیر مشخصه (V-I) را در اختیار داشته‌ایم به جای مشخصه (P-I) مشخصه (V-I) و مدل‌های زیر را در این مطالعه در نظر گرفته‌ایم :

$$V = B_1 I + B_2 [1 - EXP(-B_3 I)]$$

$$V = B_1 I + B_2 [1 - EXP(-B_3 I)] + B_4 I EXP(-B_5 I)$$

$$V = B_1 I + B_2 [1 - EXP(-B_3 I)] + B_4 I EXP(-B_5 I) + B_6 I EXP(-B_7 I)$$

که در آن V ولتاژ ترانسفورماتور و I جریان تحریک و B ها مقادیر ثابت

هستند حال به کمک مشخصه اندازه‌گیری شده موجود (V-I) شکل (۸) ، به کمک روش (LEAST SQUARE) و برنامه‌های کامپیوتری ساده ، مقادیر B را برای مدل‌های فوق محاسبه و نتایج در اشکال ۹ ، ۱۰ و ۱۱ رسم شده است . که خطای مدل یا منحنی واقعی مشخص است . با توجه به رابطه زیر :

$$L = N \frac{d\phi}{dt} = \frac{d\phi}{dt}$$

از روی مشخصه‌های (V-I) ، مشخصه‌های (L-I) بدست می‌آید (شکل‌های ۱۲ و ۱۳ و ۱۴) .

نتیجه :

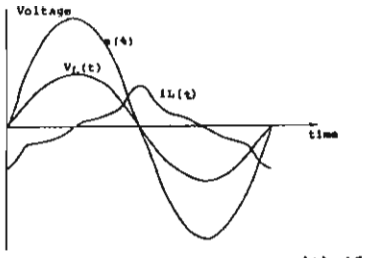
در این بررسی مدار غیرخطی RLC با منبع سینوسی با حداکثر ولتاژ V ۱۵۵۰۰ یعنی $V = 11000\sqrt{2}$ در شرایط نرمال تحریک می‌شود اثر پارامترهای مهم سیستم یعنی ولتاژ تحریک ، کاپاسیتانس سیستم ، مقاومت اهمی و نقطه زانوی منحنی مغناطیسی مورد مطالعه قرار گرفته است . اثر تغییر ولتاژ تحریک با بدست آوردن شکل موج جریان عبوری از اندوکتانس و ولتاژ دو سر آن در شکل (۱۵) نشان داده شده است و نتایج نشان میدهد که تا ولتاژ پیک $V = 6000$ جریان عبوری ناجیز و ولتاژ دو سر اندوکتانس اعوجاج ندارد . در ولتاژ $V = 6000$ پس از $1/5$ سیکل پدیده فرورزونانس رخ میدهد و جریان پیک تا $1/5 A$ و ولتاژ پیک تا $50 KV$. افزایش می‌باید . اثر تغییر کاپاسیتانس و مقاومت در شکل (۱۶) نشان داده شده است . اثر نقطه زانوی مشخصه (H-B) با در نظر گرفتن منحنی‌های شکل (۱۸) مورد بررسی قرار گرفته است و نتایج در شکل (۱۹) نشان داده شده است و نشان میدهد که پدیده در زمانهای متفاوت رخ میدهد ، و مقدار اضافه ولتاژ ایجاد شده نیز متفاوت است . همچنین اثر مدل‌های ترانسفورماتور (شامل مدل قطعه قطعه خطی و مدل پیوسته نمایی) در شکل (۲۰) نشان داده شده است . مدل‌های متفاوت در وقوع پدیده فرورزونانس و میزان اضافه ولتاژ بوجود آمده نقش مهمی دارند مثلاً وقتی مدل قطعه قطعه (با دو شیب) بکار می‌رود در ولتاژ $V = 8000$ فرورزونانس رخ میدهد و جریان پیک $A = 10$ مشاهده می‌شود و حال آنکه با مدل نمایی که به مدل واقعی نزدیک است در ولتاژ $V = 6000$ اتفاق می‌افتد و جریان پیک $A = 1/5$ از مدار می‌گذرد همچنین میزان اعوجاج شکل موج ولتاژ کاملاً متفاوت است و بواسطه همین تفاوتها است که در همین مطالعه از مشخصه پیوسته نمایی استفاده شده است .

از این مطالعه نتیجه‌گیری شده است که به ازاء مقدار معینی از ولتاژ

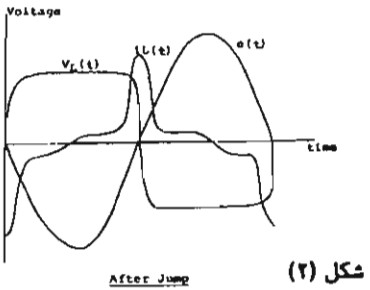
تحريك و فرکانس و مشخصه مغناطيسی معینی ، میتوان بین تغييرات L و C و R رابطه‌ای مطابق شکل (۲۱) بودست آورده از اين مقاومت اهمی معین حداقل مقدار I که منجر به فرورزونانس ميگردد با افزایش C کاهش می‌باید نتایج نشان میدهد که با وارد کردن مقاومت بزرگ در مدار امکان وتوع فرورزونانس کاهش می‌باید که از آن میتوان برای جلوگیری فرورزونانس در ترانسفورماتور ولتاژ استفاده نمود. طوريکه مطابق شکل (۲۲) هرگاه در موقع بروز اختشاش فلوي مغناطيسی به حد پيش‌بيينى شده (مقدار قبل از اشباع) بررسد مدار كنترلرسنج الکترونيک S را قطع نماید تا امکان به اشباع وقتی ترانسفورماتور از بين برود. اثر تغييرات فرکانس تحريك ، بار اوليه خازن و تغيير زاويه سوچيچينك مورد مطالعه قرار گرفته است و نتيجه‌گيری شده است که پيك جريان با افزایش فرکانس افزایش می‌باید ، مدت زمان عبور جريان پالسي با افزایش بار اوليه خازن افزایش می‌باید ، و تغيير زاويه سوچيچينك چندان تاثيری در شکل موجها ندارد و تنها پيك ولتاژ در زمانهای متلاوت رخ میدهد (به خاطر محدود بودن مفحات ، از درج بعضی گرافها خودداری شده است) . نقش پارامترهای دیگر از آنجلمه اثر هيسنزيس ، جريان فوکو رابطه بين نوسانات هارمونيك ، زير هارمونيك با فرورزونانس نيز قابل بررسی است .

منابع :

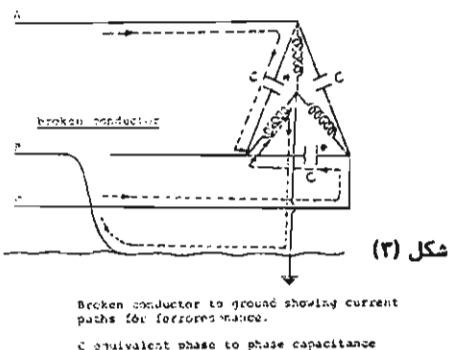
- 1- GERMAY , N, MASTERO , S , AND ROMAN, J.V.
 "REVIEW OF FERRORESONANCE PHENOMENA IN HIGH VOLTAGE POWER SYSTEM AND PRESENTATION OF A VOLTAGE TRANSFORMER MODEL FOR PREDETERMING THEM"
 CIGRE , PARIS PAPER NO . 33- 18, 1974
- 2- DOMMEL , H.W. AND MEYER , W.S.
 "COMPUTATION OF ELECTROMAGNETIC TRANSIENTS"
 PROCEEDINGS OF IEEE VOL 62 , PP 983 - 993 JULY 1974
- 3- " SINGLE - PLASE FERRORESONANCE ON A 150 / $\sqrt{3}$ KV VOLTAGE TRANSFORMER COMPARISON OF MEASURED AND COMPUTED RESULTS /PROC .IEE , VOL . 125, NO - 6,JUNE 1978
- 4- KIMBARK , E .W. "FERRORESONANCE IN A TRANSFORMER SWITCHED WITH AN EHV LINE" IEEE TRANS . PAS - 91, NO.3 , 1972



شكل (١)

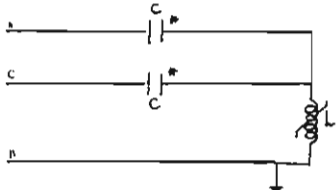


شكل (٢)



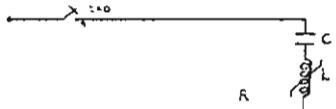
Broken conductor to ground showing current paths for ferroresonance.

C = equivalent phase to phase capacitance



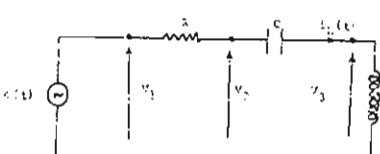
شكل (٤)

The essential circuit for ferroresonance from fig. 3



شكل (٥)

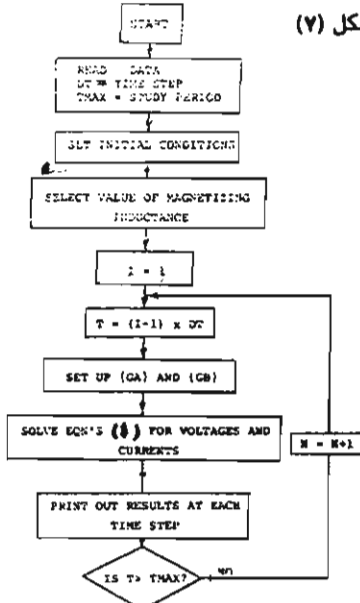
Ferroresonance circuit for one phase of V.T.
when switch closed



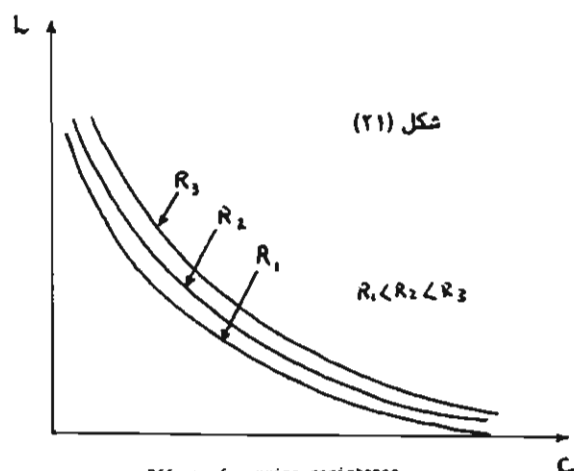
Equivalent circuit

شكل (٦)

LOGICAL FLOW DIAGRAM

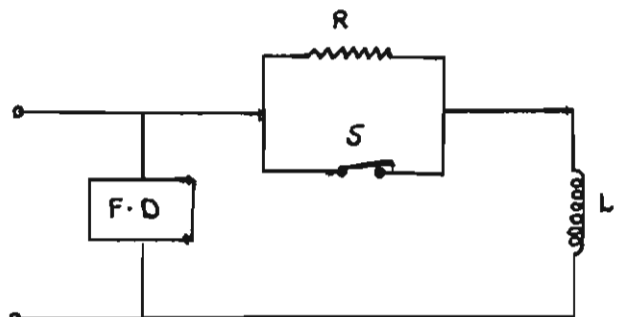


شكل (٧)



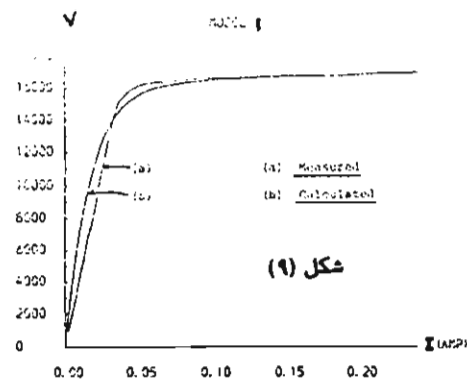
شكل (٨)

Effect of varying resistance
On Ferroresonance parameter

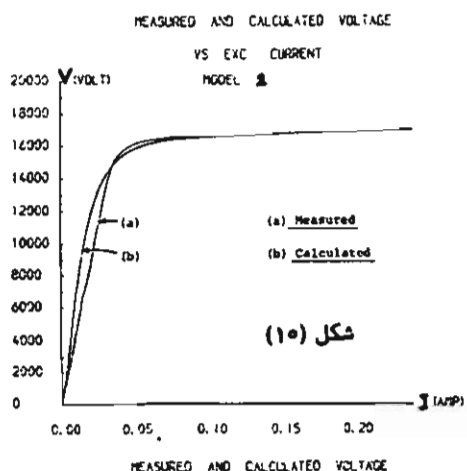


F.D. = Flux amplitude detector
S = Electronic switch

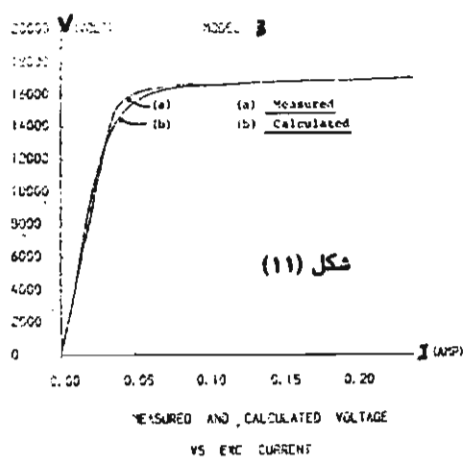
شكل (٩)



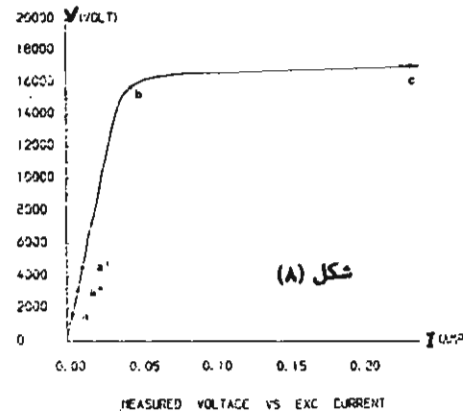
شكل (٤)



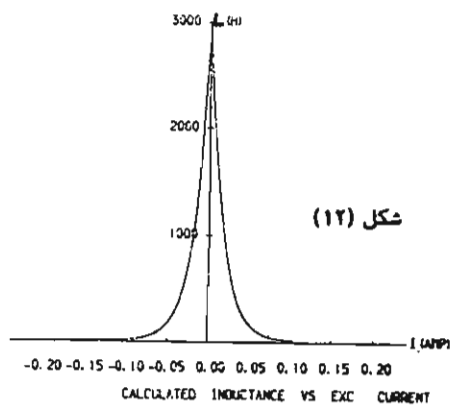
شكل (٥)



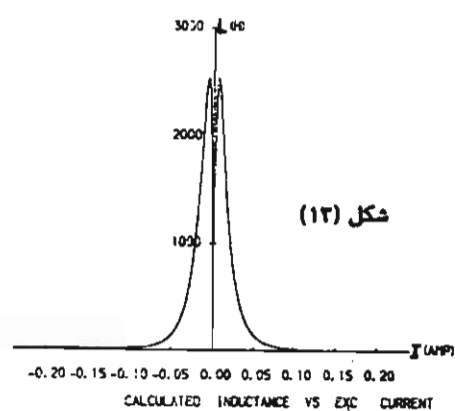
شكل (٦)



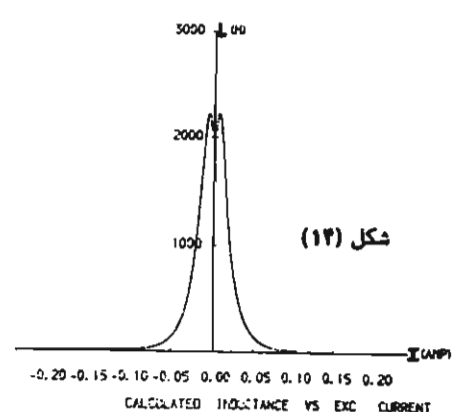
شكل (٨)



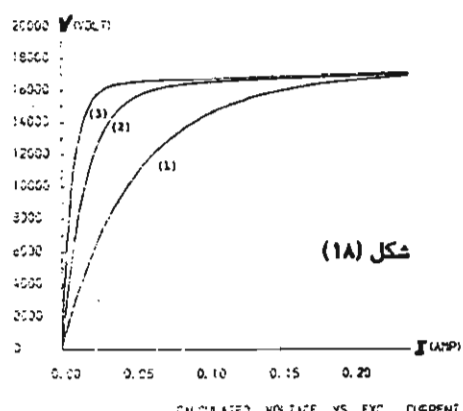
شكل (١٢)



شكل (١٣)



شكل (١٤)



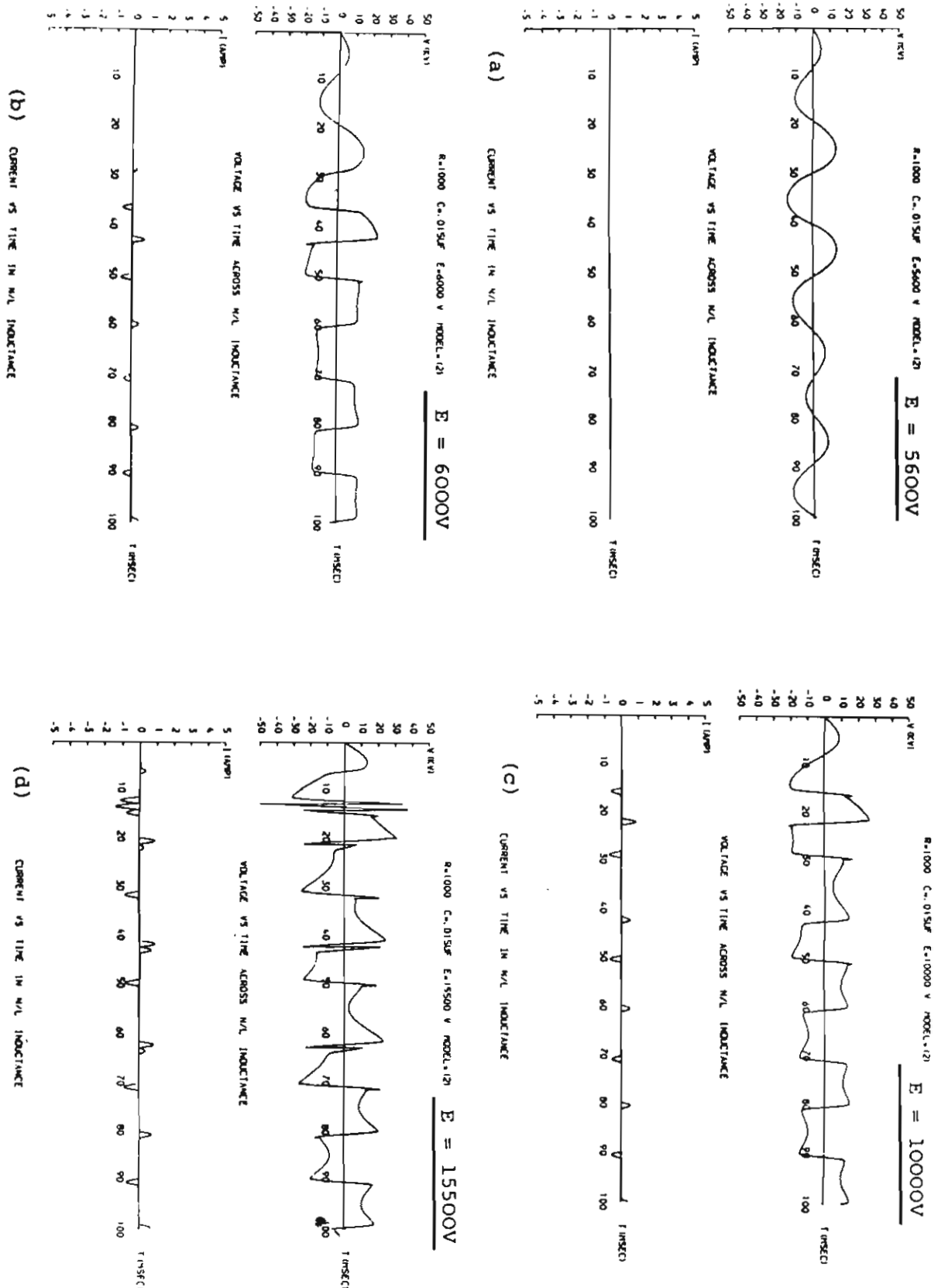
شكل (١٦)

Effect of varying the excitation voltage

$$\text{model(2)} : \phi = B_1 I + B_2 (1 - \exp(-B_3 I))$$

$$R = 1000 \Omega \quad C = 0.015 \text{ UF}$$

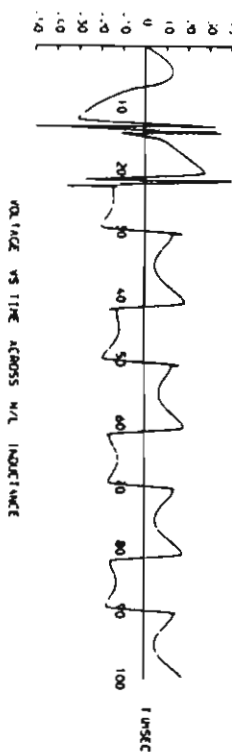
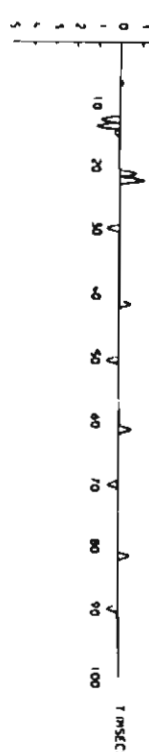
شكل (١٥)



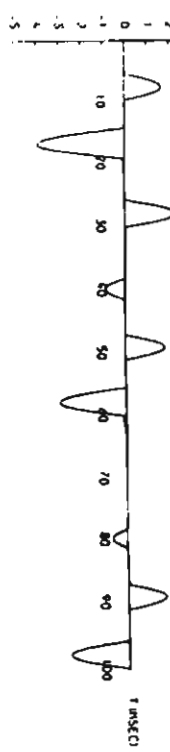
Effect of varying the line capacitance

model $\phi = B_1 I + B_2 (1 - \exp(-B_3 I))$
 $R = 1000 \Omega$ $E = 15500 \text{ V}$

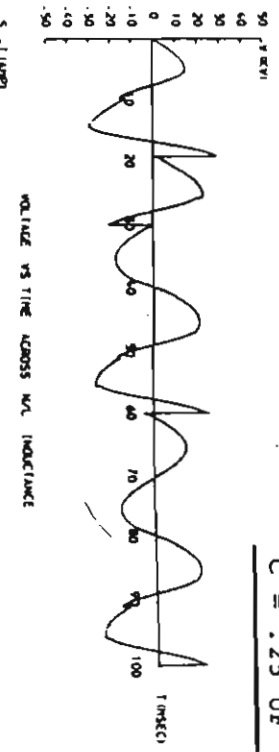
(18) JK



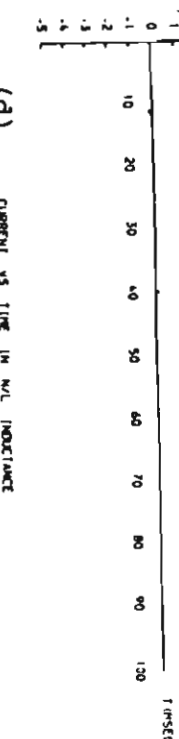
(a) CURRENT VS TIME IN N.L. INDUCTANCE
 $R=1000$ $C=0.010\text{UF}$ MODEL-(1)

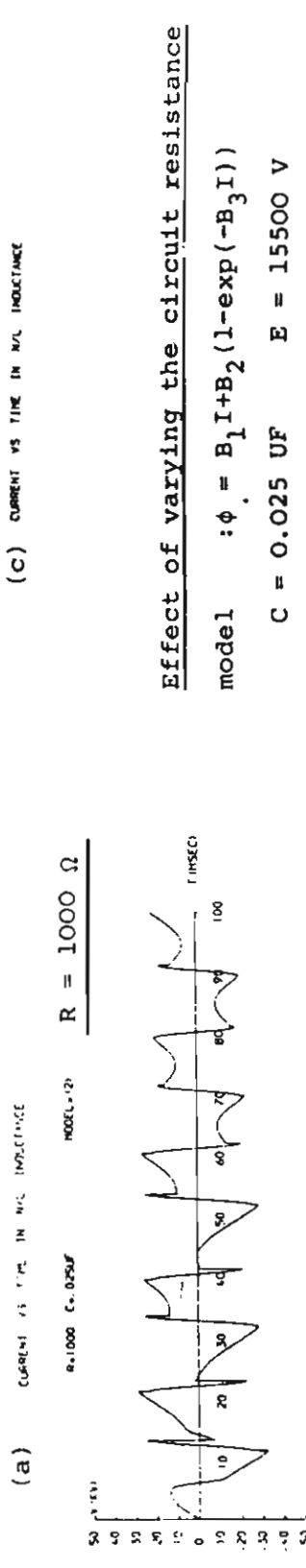
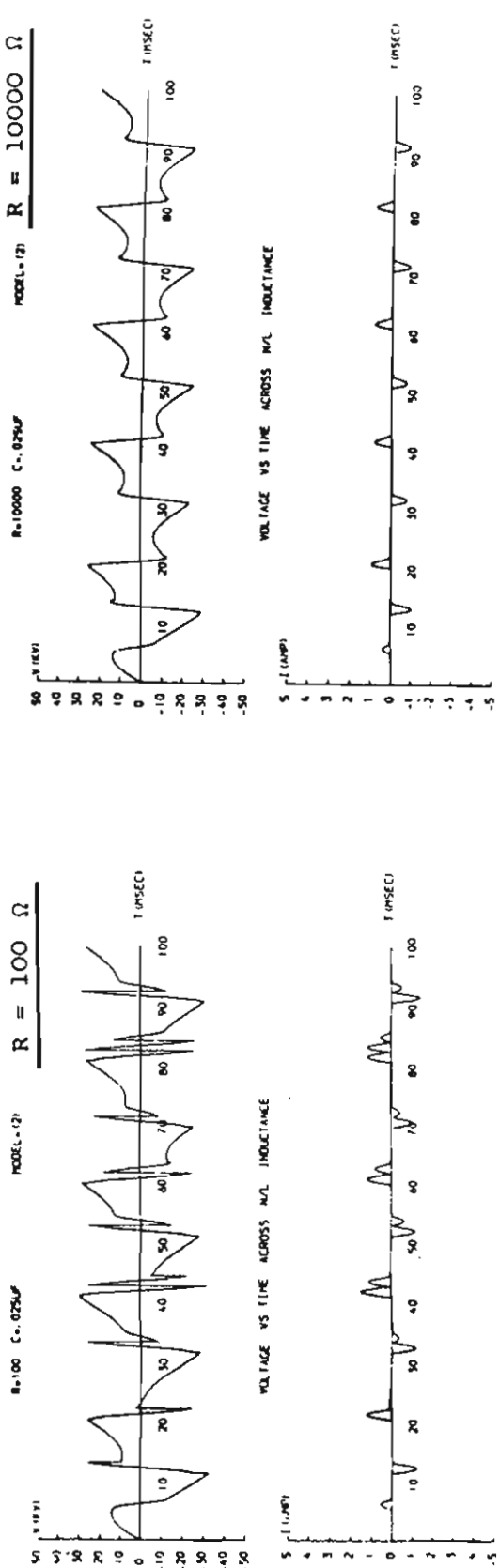


(b) VOLTAGE VS TIME ACROSS N.L. INDUCTANCE
 $R=1000$ $C=.25\text{UF}$ MODEL-(1)



(c) CURRENT VS TIME IN N.L. INDUCTANCE
 $R=1000$ $C=.0025\text{UF}$ MODEL-(1)

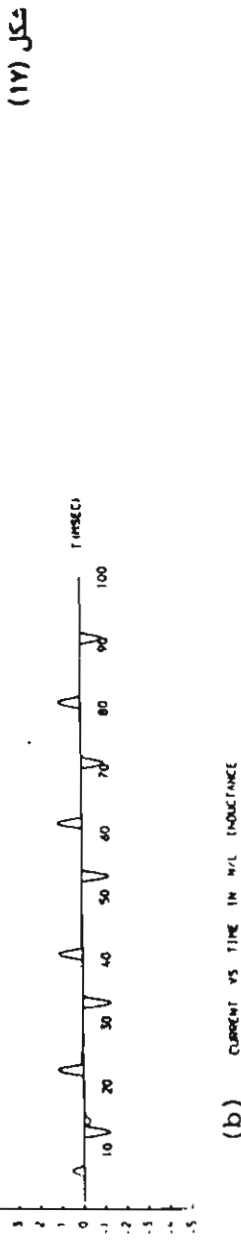


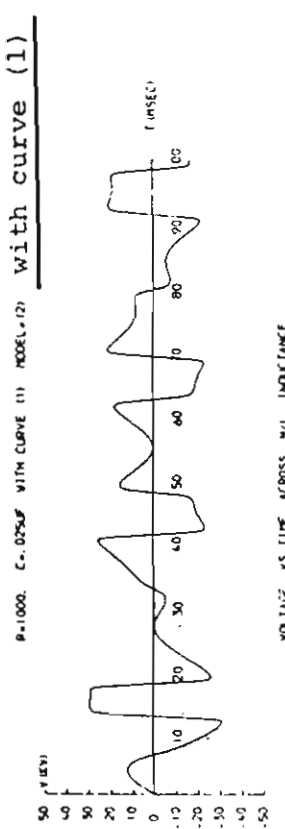


Effect of varying the circuit resistance

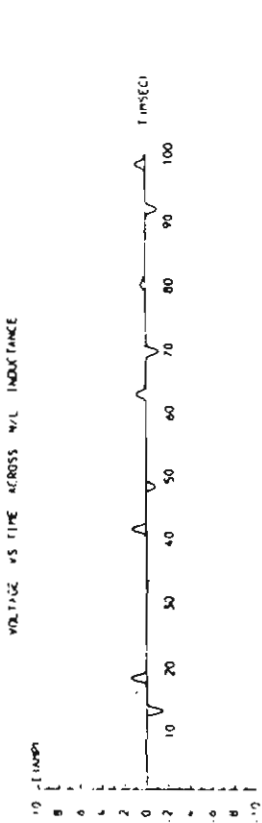
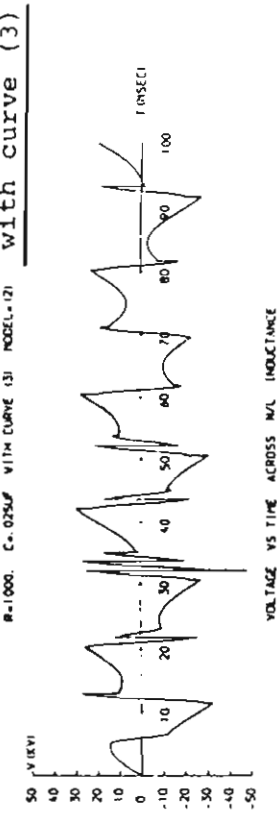
model : $\phi = B_1 I + B_2 (1 - \exp(-B_3 I))$

$C = 0.025 \mu F E = 15500 V$

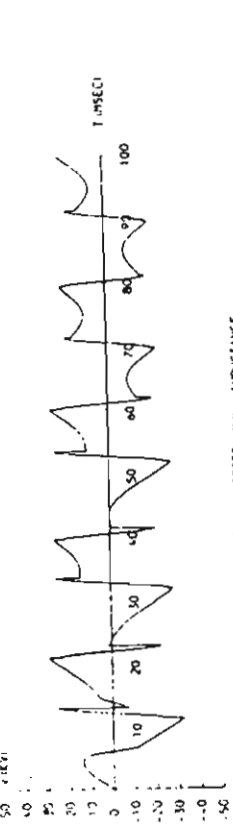




(a) CURRENT VS TIME IN N/L INDUCTANCE
R=1000. C=0.025UF WITH CURVE (2) MODEL+(2) WITH CURVE (2)

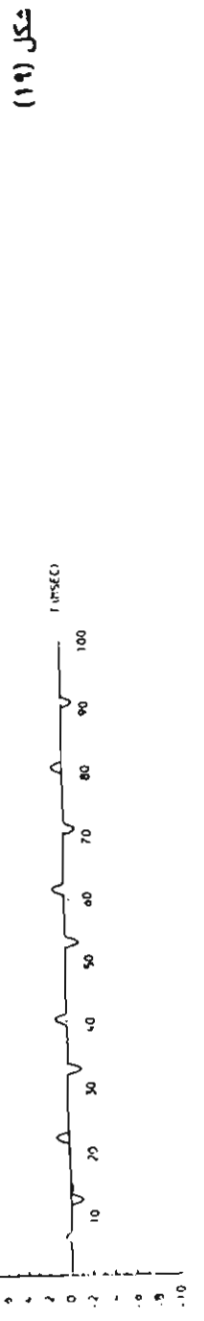


(b) VOLTAGE VS TIME ACROSS N/L INDUCTANCE
R=1000. C=0.025UF WITH CURVE (2) MODEL+(2) WITH CURVE (2)

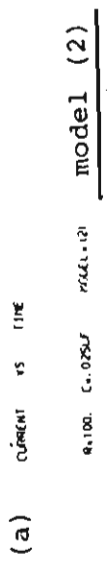
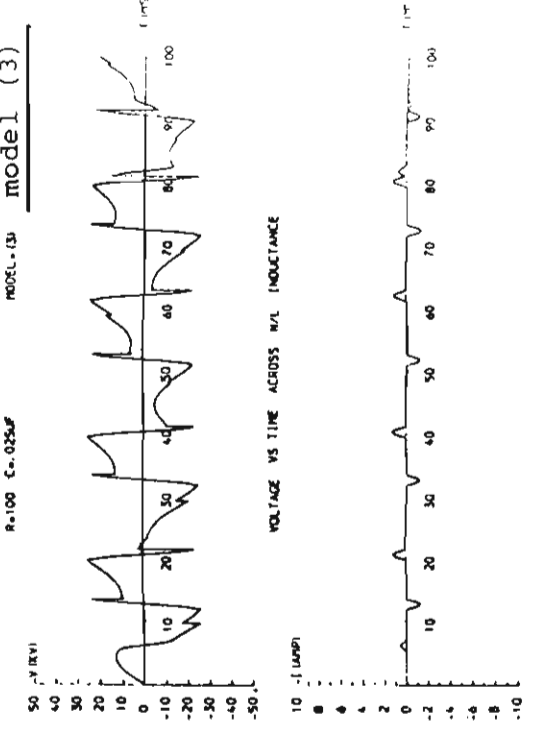
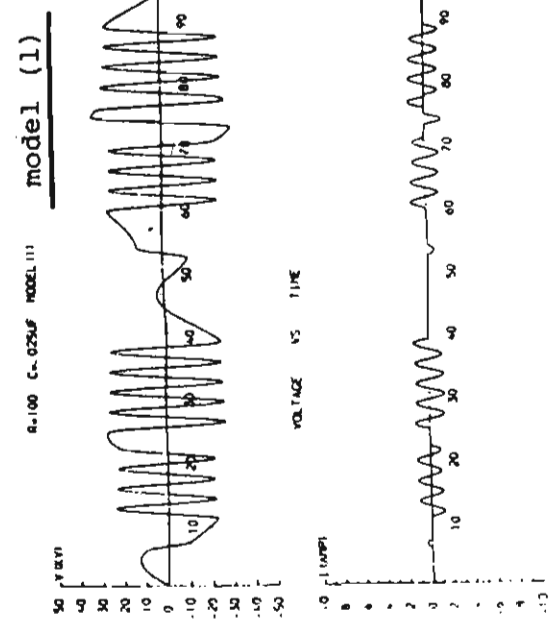


(c) VOLTAGE VS TIME ACROSS N/L INDUCTANCE
R=1000. C=0.025UF WITH CURVE (3) MODEL+(2) WITH CURVE (3)

Effect of varying magnetic characteristic
(curves 1,2 and 3 of Fig 8)
model : $\phi = B_1 I + B_2 (1 - \exp(-B_3 I))$
 $R = 1000 \Omega$ $C = 0.025 \text{ UF}$
 $E = 15500 \text{ V}$



(b) CURRENT VS TIME IN N/L INDUCTANCE



Effects of the different models

for (ϕ -I) characteristic.

$R = 100 \Omega$ $C = 0.025 \mu F$ $E = 15500 V$

model (1) : piecewise-linear

model (2) : exponential model

$$\phi = B_1 I + B_2 (1 - \exp(-B_3 I))$$

model (3) : exponential model

$$\phi = B_1 I + B_2 (1 - \exp(-B_3 I) + B_4 I \exp(-B_5 I) + B_6 I \exp(-B_7 I))$$

